

فهرست مطالب

۱	مقدمه
۴	فصل اول: بررسی منابع
۵	۱-۱: پیشینه تاریخی
۵	۱-۱-۱: فعالیت خورشیدی
۵	۱-۱-۱-۱: لکهای خورشیدی
۸	۱-۱-۱-۲: چرخه فعالیت خورشیدی
۹	۱-۱-۱-۳: شراره‌های خورشیدی
۱۱	۱-۱-۱-۴: باد خورشیدی
۱۲	۱-۱-۱-۵: توده‌ی پرتاپ شده‌ی کروناوی
۱۴	۱-۱-۱-۶: شار رادیویی خورشید
۱۵	۱-۱-۱-۷: مگنتوسفر
۱۷	۱-۱-۱-۸: ساختار مگنتوسفر

۱۹	۳-۱-۱: یونسفر
۲۱	۴-۱-۱: طوفان‌های ژئومغناطیسی
۲۳	۵-۱-۱: اندیس‌های ژئومغناطیسی
۲۳	۱-۱-۵-۱: اندیس ژئومغناطیسی Dst
۲۴	۲-۱-۱-۱: اندیس ژئومغناطیسی K
۲۵	۳-۱-۱-۱: اندیس ژئومغناطیسی a
۲۶	۴-۱-۱-۱: اندیس ژئومغناطیسی A
۲۶	۵-۱-۱-۱: اندیس‌های شبکه‌ای Kp, ap و Ap
۲۷	۶-۱-۱-۱: پیش‌بینی چرخه‌های فعالیت خورشیدی
۲۷	۱-۱-۶-۱: روش پیشرو
۲۷	۲-۱-۱-۱-۱: روش شبکه عصبی مصنوعی
۲۸	۳-۱-۱-۱-۱: ساختار شبکه‌های مصنوعی
۲۹	۴-۱-۱-۱-۱: آموزش شبکه عصبی مصنوعی
۳۰	۵-۱-۱-۱-۱: الگوریتم پس-انتشار خط

۳۱	فصل دوم: مبانی و روش‌ها
۳۲	۱-۲: روش‌های تئوری
۳۲	۱-۱-۲: نحوه تعیین خواص CME‌ها
۳۵	۱-۱-۱-۱: مدت زمان حرکت CME
۳۶	۱-۱-۱-۲: سرعت
۳۷	۱-۱-۲: انواع CME‌ها
۳۷	۱-۱-۲-۱: سرعت
۴۲	۱-۱-۲-۲: پهنه‌ای زاویه‌ای
۴۴	۱-۱-۳: CME‌هایی
۴۵	۱-۱-۳-۱: تعیین سرعت
۴۸	۱-۱-۳-۲: توضیح و شرح خلاصه‌ای از کاتالوگ CME
۵۱	۱-۱-۳-۳: تاثیرات پدیده‌های خورشیدی بر یونسفر زمین
۵۱	۱-۱-۵-۱: نحوه تغییرات لایه‌های مختلف یونسفر
۵۳	۱-۱-۶: فرکانس بحرانی لایه F ₂ یونسفر

۵۵	۲-۱-۷: بررسی اندیس های زئومغناطیسی.....
۵۷	۲-۱-۸: مدل توصیف آماری دادهها.....
۵۹	۲-۱-۸-۱: میانگین گیری.....
۶۰	۲-۱-۹: مدل ریاضی شبکه عصبی مصنوعی.....
۶۱	۲-۱-۹-۱: پرسپکترون چند لایه.....
۶۲	۲-۹-۲-۱: الگوریتم پس انتشار خط.....
۶۵	۲-۱-۱۰: کاربرد شبکه عصبی مصنوعی در CME ها.....
۶۷	فصل سوم: نتایج و بحث.....
۶۸	۳-۱: تجزیه و تحلیل دادهها
۶۸	۳-۱-۱: تغییرات سالیانه‌ی تعداد CME ها در دو دوره‌ی چرخه فعالیت خورشید.....
۷۱	۳-۱-۲: همبستگی میانگین سرعت و پهنه‌ی زاویه‌ای CME ها.....
۷۳	۳-۱-۳: تغییرات سالیانه‌ی تعداد Halo CME ها.....
۷۵	۳-۱-۴: تغییرات سرعت Halo CME ها.....
۷۷	۳-۱-۵: تغییرات سالیانه‌ی تعداد CME های لبه همراه با زبانه‌ها.....

۶-۱-۳: تغییرات سالیانه‌ی تعداد CME‌های لبه همراه با زبانه‌ها در دو نیمکره	
۸۰	شمال و جنوب خورشید.....
۸۱	۷-۱-۳: تغییرات تعداد سالیانه‌ی شراره‌های خورشیدی.....
۲۸	۸-۱-۳: تغییرات تعداد سالیانه‌ی شراره‌های خورشیدی در نیمکره شمال و جنوب خورشید.....
۸۶	۹-۱-۳: مقایسه‌ی منحنی تغییرات تعداد CME‌ها و شراره‌های خورشید.....
۸۸	۲-۳: پارامترهای فعالیت خورشیدی.....
۸۸	۱-۲-۳: تغییرات تعداد لک‌های خورشیدی.....
۸۹	۱-۱-۲-۳: منحنی‌های مربوط به تغییرات تعداد لک‌های خورشیدی.....
۹۰	۲-۲-۳: تغییرات شار رادیوئی خورشید.....
۹۱	۱-۱-۲-۲-۳: منحنی‌های مربوط به تغییرات شار رادیوئی خورشید.....
۹۳	۳-۲-۳: تغییرات اندیس ژئومغناطیسی aa
۹۴	۱-۳-۲-۲-۳: منحنی‌های مربوط به تغییرات اندیس ژئومغناطیسی aa
۹۶	۴-۲-۳: تغییرات اندیس‌های ژئومغناطیسی Kp
۹۶	۱-۴-۲-۳: منحنی‌های مربوط به تغییرات اندیس‌های ژئومغناطیسی Kp
۹۷	۵-۲-۳: تغییرات اندیس ژئومغناطیسی Dst

۹۸.....	۳-۲-۵-۳: طوفان های ژئومغناطیسی بسیار بزرگ همراه با تغییرات Dst
۹۹.....	۳-۲-۵-۴: منحنی های مربوط به تغییرات اندیس ژئومغناطیسی Dst
۱۰۰.....	۳-۳: شبکه عصبی مصنوعی
۱۰۰.....	۳-۳-۱: طراحی یک شبکه عصبی مصنوعی پیشخور در نرم افزار Matlab
۱۰۰.....	۳-۳-۱-۱: تعریف شبکه
۱۰۰.....	۳-۳-۱-۲: معماری شبکه
۱۰۱.....	۳-۳-۱-۳: مقادیر وزن‌ها و بایاس‌ها
۱۰۲.....	۳-۳-۱-۴: الگوریتم آموزش شبکه
۱۰۶.....	۳-۳-۲: پیش‌بینی تعداد لک‌های خورشیدی
۱۰۷.....	۳-۳-۲-۱: منحنی های مربوط به پیش‌بینی تعداد لک‌های خورشیدی
۱۰۸.....	۳-۳-۳: پیش‌بینی تعداد CME‌ها
۱۰۸.....	۳-۳-۳-۱: منحنی مربوط به پیش‌بینی تعداد CME‌ها
۱۰۹.....	۳-۳-۳-۲: پیش‌بینی میزان شار رادیویی خورشید
۱۱۰.....	۳-۳-۳-۳: منحنی های مربوط به پیش‌بینی میزان شار رادیویی خورشید
۱۱۱.....	۳-۳-۳-۴: پیش‌بینی تغییرات اندیس ژئومغناطیسی aa
۱۱۲.....	۳-۳-۳-۵: منحنی های مربوط به پیش‌بینی تغییرات اندیس ژئومغناطیسی aa
۱۱۳.....	۳-۳-۳-۶: پیش‌بینی تغییرات اندیس ژئومغناطیسی Kp

۱۱۳.....Kp	۶-۳-۳: منحنی مربوط به پیش بینی تغییرات اندیس ژئومغناطیسی
۱۱۴.....Dst	۷-۳-۳: پیش بینی تغییرات اندیس ژئومغناطیسی
۱۱۵.....Dst	۶-۳-۳: منحنی مربوط به پیش بینی تغییرات اندیس ژئومغناطیسی
۱۱۶.....	نتایج
۱۱۸.....	پیشنهادات
۱۱۹.....	منابع

فهرست اسکال:

٦	شكل (١-١)
٩	شكل (١-٢)
١٣	شكل (١-٣)
١٤	شكل (١-٤)
١٥	شكل (١-٥)
١٨	شكل (١-٦)
٢٠	شكل (١-٧)
٢٢	شكل (١-٨)
٢٤	شكل (١-٩)
٢٦	شكل (١-١٠)
٣٣	شكل (٢-١)
٣٤	شكل (٢-٢)
٣٦	شكل (٢-٣)
٤٠	شكل (٢-٤)

٤٢.....	شكل (٢-٥)
٤٣.....	شكل (٢-٦)
٤٤.....	شكل (٢-٧)
٤٥.....	شكل (٢-٨)
٤٨.....	شكل (٢-٩)
٥١.....	شكل (٢-١٠)
٥٢.....	شكل (٢-١١)
٥٢.....	شكل (٢-١٢)
٥٣.....	شكل (٢-١٣)
٥٤.....	شكل (٢-١٤)
٥٥.....	شكل (٢-١٥)
٥٦.....	شكل (٢-١٦)
٥٧.....	شكل (٢-١٧)
٥٨.....	شكل (٢-١٨)
٥٩.....	شكل (٢-١٩)
٦٠.....	شكل (٢-٢٠)

٦٢.....	شكل (٢-٢١)
٦٥.....	شكل (٢-٢٢)
٦٩.....	شكل (٣-١)
٧٠.....	شكل (٣-٢)
٧٢.....	شكل (٣-٣)
٧٢.....	شكل (٣-٤)
٧٣.....	شكل (٣-٥)
٧٤.....	شكل (٣-٦)
٧٤.....	شكل (٣-٧)
٧٥.....	شكل (٣-٨)
٧٦.....	شكل (٣-٩)
٧٧.....	شكل (٣-١٠)
٧٨.....	شكل (٣-١١)
٧٨.....	شكل (٣-١٢)
٧٩.....	شكل (٣-١٣)
٧٩.....	شكل (٣-١٤)

٨٠	شكل (٣-١٥)
٨١	شكل (٣-١٦)
٨٢	شكل (٣-١٧)
٨٢	شكل (٣-١٨)
٨٤	شكل (٣-١٩)
٨٤	شكل (٣-٢٠)
٨٥	شكل (٣-٢١)
٨٥	شكل (٣-٢٢)
٨٦	شكل (٣-٢٣)
٨٧	شكل (٣-٢٤)
٨٩	شكل (٣-٢٥)
٨٩	شكل (٣-٢٦)
٩١	شكل (٣-٢٧)
٩١	شكل (٣-٢٨)
٩٢	شكل (٣-٢٩)
٩٤	شكل (٣-٣٠)

٩٤.....	شكل (٣-٣١)
٩٥.....	شكل (٣-٣٢)
٩٦.....	شكل (٣-٣٣)
٩٧.....	شكل (٣-٣٤)
٩٩.....	شكل (٣-٣٥)
٩٩.....	شكل (٣-٣٦)
١٠٢.....	شكل (٣-٣٧)
١٠٧.....	شكل (٣-٣٨)
١٠٨.....	شكل (٣-٣٩)
١١٠.....	شكل (٣-٤٠)
١١٢.....	شكل (٣-٤١)
١١٣.....	شكل (٣-٤٢)
١١٥.....	شكل (٣-٤٣)

فهرست جداول:

١٠.....	جدول (١-١)
١١.....	جدول (١-٢)
٢٥.....	جدول (١-٣)
٤٩.....	جدول (٢-١)
٥٠.....	جدول (٢-٢)
٧٩.....	جدول (٣-١)
٩٨.....	جدول (٣-٢)
١٠٧.....	جدول (٣-٣)
١٠٩.....	جدول (٣-٤)
١١١.....	جدول (٣-٥)
١١٢.....	جدول (٣-٦)
١١٤.....	جدول (٣-٧)
١١٥.....	جدول (٣-٨)

مُهَرْمَه

فضای بین خورشید و ستارگان شامل گازهای یونیده و خنثی، میدان‌های مغناطیسی و ذرات باردار می‌باشد. تجمع لک‌ها بر روی سطح خورشید باعث بروز پدیده‌هایی می‌شود که از آن جمله می‌توان به شراره‌های خورشیدی^۱ و تودهای پرتاپ شده‌ی کرونایی^۲ و ذرات پر انرژی خورشیدی^۳ نام برد. از آنجاییکه این پدیده‌ها همراه باد خورشیدی^۴ به فضای بین سیاره‌ای^۵ وارد می‌شوند، ممکن است در موارد بخصوصی باعث بروز خطراتی بر روی کره‌ی زمین شوند. این پدیده‌ها نقش کلیدی در آب و هوای فضایی را بر عهده دارند و می‌توانند باعث خسارات جبران ناپذیری بر روی ماهواره‌ها و ارتباطات زمینی^۶ و به طور کلی شرایط اقتصادی و اجتماعی بر روی کره‌ی زمین شوند. از این رو تحقیق بر روی آن‌ها بسیار اهمیت دارد.

این پایان‌نامه در سه فصل تنظیم شده است. در فصل اول به صورت خلاصه پیشینه موضوع مطالعه شده است. در فصل دوم تمامی مفاهیم پایه‌ای که در راستای پایان‌نامه قرار دارند از جمله، روش‌های تئوری، منابع و داده‌های رصدی، تحلیل داده‌ها، نتایج حاصل از داده‌های مختلف به طور مختصر بیان شده و تا حد امکان اثبات و یا ارجاع داده شده است. در فصل سوم با استفاده از مفاهیم فصل دوم اهداف پایان‌نامه بررسی شده است.

-
1. Solar Flares
 2. Coronal Mass Ejection
 3. Solar Energetic Particles
 4. Solar Wind
 5. Interplanetary Space
 6. Earth Communication

ما در این پایان نامه سعی داریم رفتار این پدیده‌ها را بررسی کنیم و از لحاظ آماری در طی دو چرخه از فعالیت خورشیدی (چرخه‌ی ۲۳ و ۲۴) نحوه و میزان رخدادن این پدیده‌ها و اثرات آن را بر روی مگتوسفر^۷ و یونسفر^۸ زمین توضیح دهیم. همچنین پارامترهای مربوط به این پدیده‌ها از جمله سرعت خطی^۹، پهنه‌ای زاویه‌ای^{۱۰} و موقعیت زاویه‌ای^{۱۱} این پدیده‌ها مورد ارزیابی قرار گرفته‌اند. طوفان‌های ژئومغناطیسی^{۱۲} ایجاد شده توسط این پدیده‌ها باعث تضعیف میدان مغناطیسی زمین می‌شوند، میزان این تضعیف نیز در این پایان‌نامه مورد توجه بوده است.

نمودار پارامترهای اصلی فیزیکی CME‌ها نظیر سرعت خطی و پهنه‌ای زاویه‌ای و موقعیت زاویه‌ای رسم و بحث شده است. نمودار همبستگی این پارامترها با تعداد این پدیده‌ها و عوامل محیطی دیگر رسم و بحث شده است.

سپس با در نظر گرفتن مشخصات فیزیکی چرخه فعالیت خورشیدی^{۱۳}، رابطه آن با تغییرات طولانی مدت مورد مطالعه قرار خواهد گرفت. در این راستا پریودهای زمانی چرخه لک‌های خورشیدی و اندیس‌های ژئومغناطیسی در چرخه‌های گذشته تا حال و آینده و نحوه تغییرات آنها بررسی می‌شوند.

-
- 7. Magnetosphere
 - 8. Ionosphere
 - 9. Linear Speed
 - 10. Angular Width
 - 11. Position Angle
 - 12. Geomagnetic storms
 - 13. Solar cycles

فصل اول

بررسی منابع

۱-۱: پیشنهاد تاریخی

۱-۱-۱: فعالیت خورشیدی

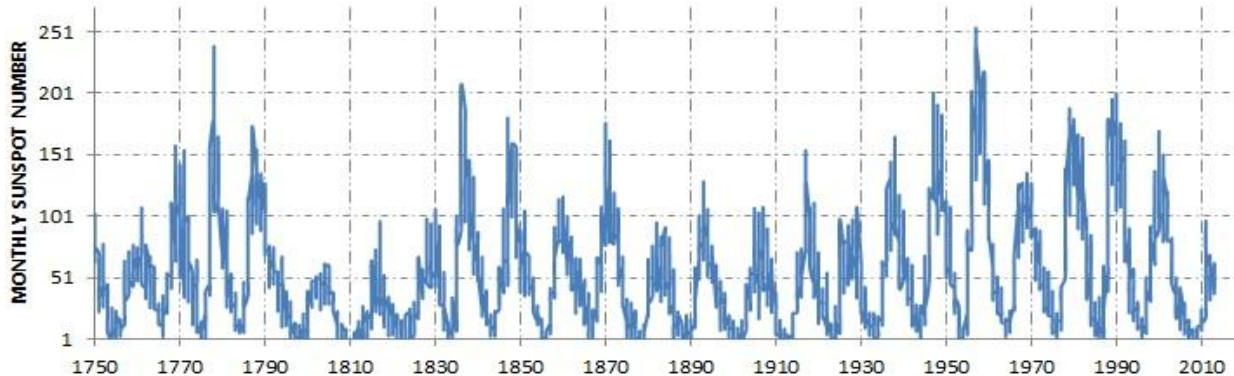
فعالیت خورشیدی به تمام پدیده‌هایی که در سطح یا درون خورشید رخ می‌دهد، مربوط می‌شود که از آن دسته می‌توان به لک‌های خورشیدی^۱، چرخه‌ی فعالیت خورشیدی^۲، شراره‌های خورشیدی^۳، باد خورشیدی^۴، توده‌های پرتاپ شده‌ی تاجی^۵، شار رادیویی^۶ ۱۰/۷ سانتی‌متر و اندیس‌های ژئومغناطیسی^۷ اشاره کرد[۱]. تحت تاثیر فعالیت مغناطیسی شدید خورشید، لک‌های خورشید میزبان پدیده‌های ثانویه مانند حلقه‌های تاجی^۸ (زبانه‌ها) و پدیده‌های اتصال مجدد^۹ می‌باشند. اما انواعی از فعالیت خورشیدی وجود دارند که مستقیماً با لک‌های خورشیدی مرتبط نیستند که از آن جمله می‌توان به ظهور تیوب‌های شار مغناطیسی^{۱۰} و تغییرات میدان‌های مغناطیسی کلی خورشید اشاره کرد.

۱-۱-۱-۱: لک‌های خورشیدی

لک‌های خورشیدی نواحی تاریکی در فوتوسفر هستند، با میدان‌های مغناطیسی قوی و دمای پائین که از نواحی مرکزی تاریکی به نام سایه، نواحی نیمه روشن‌تری به نام نیمسایه و نقاط روشن واقع در سایه به نام خال‌های سایه‌ای تشکیل شده است[۲].

1. Sunspot
2. Solar Cycle Activity
3. Solar Flares
4. Solar Wind
5. Coronal Mass Ejection
6. 10.7 cm radio flux
7. Geomagnetic indices
8. Prominence
9. Reconnection
10. Magnetic Flux Tubes

تغییرات تعداد لک‌های خورشیدی از سال ۱۷۴۹ در شکل (۱-۱) نشان داده است.



(شکل ۱-۱): تغییرات تعداد لک‌های خورشیدی

ولی اینها تغییرات تعداد واقعی لک‌ها نیستند، بلکه عددی است که بوسیله ولف^۱ معرفی شده است و به

صورت زیر تعریف می‌شود:

$$R_z = k(10g + f) \quad (1-1)$$

که g تعداد لک‌های گروهی، f تعداد لک‌های منفرد و k ضریب تصحیح رصدخانه که برای هر رصدخانه با توجه به اندازه تلسکوپ، شرایط جوی و جدیت نسبی رصد کننده در شمارش لک‌ها، متفاوت است. مثلاً اگر یک لک در روی سطح خورشید دیده شود، f و g هر دو مساوی یک هستند و اگر k ضریب تصحیح رصدخانه هم مساوی یک باشد بنابراین عدد لک‌های خورشیدی (R_z)، برابر با ۱۱ خواهد بود.

لک‌های خورشیدی معمولاً به صورت جفت ظاهر می‌شوند که دارای قطب‌های مغناطیسی مخالف همدیگر هستند.

آنها با میدان‌های قوی مغناطیسی مرتبط بوده و با دیگر لک‌های خورشیدی که دارای ساختارهای مغناطیسی مشابه هستند تشکیل گروه می‌دهند. اعتقاد بر این است که لک‌های خورشیدی از طریق فعالیت‌های خورشیدی بر روی تغییرات ساختار تاجی تاثیر می‌گذارند. شارش جریانات پلاسمای و خطوط میدان مغناطیسی در طول خورشید گرفتگی در تاج قابل مشاهده‌اند. بطوری‌که در طول بیشینه فعالیت خورشیدی، تاج ظاهر همسانگردی دارد و تقریباً دایره‌ای است و پرتاپ ماده از سطح خورشید نیز بیشتر دیده می‌شود^[۲]. در سال ۱۸۵۵، هنگامی که ول夫، مدیر رصدخانه جدیدالتاسیس زوریخ شد، شروع به جمع آوری داده‌های لک خورشیدی به صورت روزانه کرد و به خاطر اینکه از شکاف و وقفه در ثبت داده‌ها به علت بدی هوا و خرابی دستگاهها جلوگیری کند از کمک رصدخانه‌های دیگر در نقاط مختلف جهان استفاده کرد. این برنامه تا به امروز ادامه داشته و بیش از ۳۰ رصدخانه در این برنامه شرکت داشته‌اند. داده‌ها در مرکز آنالیز داده‌های خورشیدی در بلژیک^۱ (SIDC) و همچنین در سازمان ملی اقیانوس‌شناسی آمریکا^۲ (NOAA) جدول‌بندی می‌شوند. پیشرفت صنعت عکاسی در قرن ۱۹، اجازه داد سطح خورشید با دقت و جزئیات بیشتری بررسی شود. اولین عکس از سطح خورشید به وسیله فیزو^۳ و فوکو^۴ در سال ۱۸۴۵ در رصدخانه پاریس گرفته شد که چندین لک خورشیدی را نشان می‌داد. رصدخانه گرینویچ عکس‌برداری از سطح خورشید را از سال‌های ۱۸۷۶ تا ۱۹۷۶ به صورت روزانه فراهم کرد و این فرآیند در رصدخانه دبرسن^۵ در مجارستان تا به امروز ادامه داشته است با استفاده از این سری عکس‌ها، محاسبه مساحت اشغال شده در سطح خورشید بوسیله لک‌های خورشیدی در هر روز امکان‌پذیر شد و بدین ترتیب مطالعه جزئیات فعالیت خورشیدی فراهم شد.

1. Solar Influences Data Analysis Center
2. National Oceanic and Atmospheric Administration
3. Fizeau
4. Foucault
5. Debrecen